

九州大学 正員 太田俊昭  
学生員。藤岡健三

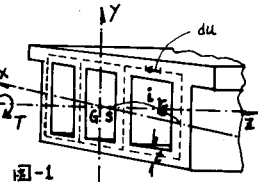
## 1. まえがき

薄肉多室閉断面析の挙り解析法としては、セン断流理論ならびに有限要素法等による解法があり、前者に対する既往研究としては、小松・崎本氏の Warping を無視した、いわゆる St. Venant の单纯ねじりセン断流のみを考慮した研究<sup>1)</sup>および著者らの单纯 Warping 理論を拡張したものがある<sup>2), 3)</sup>。一般に薄肉多室閉断面の挙り挙動には、Warping を無視できないが、なかなか塑性領域では、これまで微小と考えられていて Warping に及ぼすニセセン断ひずみの影響も大となり、これを無視した单纯 Warping 理論では、Warping Moment の大きい固定端部で解が早期に発散してしまうことになる。そこで、本研究では補正関数  $f$  を導入することにより、Warping 関数を予め補正して、解の早期発散を防ぐとともに固定条件 ( $w=0$ ) を、すっきりした形で与えられる解法を提案した。読導補正関数  $f$  は、弾性範囲内では、Benscoter<sup>4)</sup>が Galerkin 法より導いたものと全く同一関数で求められていた。以下に理論の骨子と計算結果の一部を報告する。

## 2. 基礎理論

挙りモーメントを  $T$ 、挙れ率を  $\theta$  とすれば、セン断応力増分  $\bar{\sigma}$ 、曲げ挙り応力増分  $\dot{\sigma}_w$  は一般に次の式で与えられる。(注: 以下増分は略す)

$$\bar{\sigma} = G\dot{\theta} - 2T\dot{G}\lambda, \quad \dot{\sigma}_w = E\dot{\varepsilon}_w - \frac{2}{3}\dot{\omega}E\lambda \quad \text{--- (1)}$$



ここで塑性時定数  $\epsilon_p$  は、Mises の条件式により決定される。ところで、单纯 Warping 理論による断面の反り  $w$  は、弾性時に於いては次のように求められる

$$\dot{w} = \dot{\theta} \cdot W_u \quad \text{--- (2)}$$

ここで、反り  $w$  と  $f$  を  $\theta$  の適当な補正関数として次式のように導入する。

$$\dot{w} = f \cdot (W_u + \dot{w}_f + \dot{w}_0) \quad \text{--- (3)} \quad (\text{ただし } W_u' = \int_0^u K_s f du - \int_0^u I_s du, \quad K_s: \text{セン断流関数}, \quad I_s: \text{セン断中心より断面への法縫長さ}, \quad f \cdot \dot{w}_f = \int_0^u f' du, \quad f': \text{塑性セン断ひずみ})$$

この時、反り  $w$  によって生じる垂直曲げひずみ  $\dot{\varepsilon}_w$  は、 $\dot{\varepsilon}_w = \frac{du}{dx} = \frac{d}{dx}(W_u + \frac{d}{dx}(f \cdot \dot{w}_f) + \frac{d}{dx}(f \cdot \dot{w}_0)) \quad \text{--- (4)}$

式(4)中の  $\frac{d}{dx}(f \cdot \dot{w}_0)$  は、断面の自己平衡条件という条件より求められる。

$$\frac{d}{dx}(f \cdot \dot{w}_0) = \frac{2}{3A_0} \int_A \partial_w E \cdot \lambda dA - \frac{1}{A_0} \int_A \frac{d}{dx}(f \cdot \dot{w}_f) dA \quad \text{--- (5)}$$

式(5)、式(4)を式(1)に代入することにより、曲げ挙れ応力  $\bar{\sigma}$  は、次の式で与えられる。 $(W_u = w_u - \frac{1}{A_0} \int_0^u W_u dA)$

$$\dot{\sigma}_w = E \frac{d}{dx} W_u + \dot{\sigma}_w^p \quad \text{--- (6)}$$

$$\dot{\sigma}_w^p = \frac{2}{3A_0} \int_A \partial_w E \cdot \lambda dA - \frac{2}{3} \dot{\omega} E \lambda + E \frac{d}{dx} (f \cdot \dot{w}_f^p) + \frac{1}{A_0} \int_A \frac{d}{dx} (f \cdot \dot{w}_f^p) dA \quad \text{--- (7)}$$

ここで、セン断流の概念  $\dot{\theta} = t \dot{\tau}$  を導入すると、 $\dot{\tau}$  を不静定セン断流として次の式が成立する。

$$\dot{\theta} = \dot{\theta}^* - \int_0^u t \cdot \frac{d\dot{\theta}}{dx} du \quad \text{--- (8)} \quad \text{この } \dot{\theta}^* \text{ は、断面 } i \text{ の変形の適合条件より次式で決定される。}$$

$$a_i \dot{\theta}_i^* - \sum b_{ij} \dot{\theta}_j^* = \int_0^u \frac{d\dot{\theta}_i}{dx} t \cdot du + 2G\dot{\theta} A_i - 2G\dot{\theta} G \int_0^u \frac{du}{t} + 2 \sum g_j \int_0^u G \dot{\theta} \frac{du}{t} \quad \text{--- (9)}$$

(ただし、 $a_i = \int_0^u \frac{dt}{dx}$ ,  $b_{ij} = \int_{j1}^j \frac{dt}{dx}$ ) よって式(8)に、式(7)、式(9)を代入し整理すると次式を得る。

$$\dot{\theta} = \bar{\theta}_{se} \cdot G \cdot \dot{\theta} - E \frac{d}{dx} \bar{\theta}_{we} + \dot{\theta}_p \quad \text{--- (10)}$$

$$( \text{ただし、} \bar{\theta}_{se} = K_s, \quad \bar{\theta}_{we} = \int_0^u W_u \cdot t \cdot du - \frac{1}{A_0} \int_0^u W_u \cdot t \cdot du \cdot du, \quad \dot{\theta}_p: \text{塑性セン断流} )$$

$$\text{ここで } \dot{\tau} = \int_A K_s \cdot \dot{\theta} du \text{ であるから, } \dot{\tau} = 2 \sum K_s A_i, \quad C_w = \int I_s \cdot \bar{\theta}_{we} du = \int W_u \cdot t \cdot du \text{ となる。}$$

$$\dot{\tau} = G J \cdot \dot{\theta} - E C_w \frac{d\dot{\theta}}{dx} + \dot{\tau}_p \quad \text{--- (11)}$$

式(11)の右辺第一項は、St. Venant の弾性捩りモーメント、第二項は補正された曲げ捩りモーメント、第三項は  $\dot{T} = \int_A \dot{\theta}_p \cdot I_S du$  なる塑性捩りモーメントである。

$$\text{一方、式(1)より } \dot{\theta} = \dot{T} \dot{\theta} = \dot{T} (\dot{G} G - 2 \dot{G} \dot{G}) \quad \dots \dots \dots \quad (12)$$

以上の適合条件式は、 $\dot{\theta} = \frac{\partial \dot{\omega}}{\partial u} + \frac{\partial \dot{\varphi}}{\partial z} \quad \dots \dots \dots \quad (13)$  で示されるから、式(3)と  $\dot{\varphi} = \int_0^u \dot{\theta}$  を、式(13)に代入して整理すれば次式をえる。

$$\dot{\theta} = \dot{T} G (K_A t - I_S) f + \dot{T} G I_S \dot{\theta} - 2 \dot{T} C G \dot{\lambda} + \dot{T} G \dot{\varphi} \quad \dots \dots \dots \quad (14)$$

よって、 $\dot{T} = \int_A I_S \dot{\theta} du$  より、捩りモーメント  $\dot{T}$  が次の式のように決定される。

$$\dot{T} = G (J - I_C) f + G I_C \dot{\theta} + \dot{T}_2' \quad \dots \dots \dots \quad (15)$$

$$(\text{ただし } \dot{T}_2' = -2 \int_A I_S t \cdot C G \dot{\lambda} du + G \int_A I_S \cdot t \cdot \dot{\theta} du, \text{ また } J = \int_A I_S K_S du, I_C = \int_A t \cdot I_S^2 du)$$

式(11)と式(15)は、当然同値であることから、未知関数  $f$  の決定方程式が次式のように与えられる。

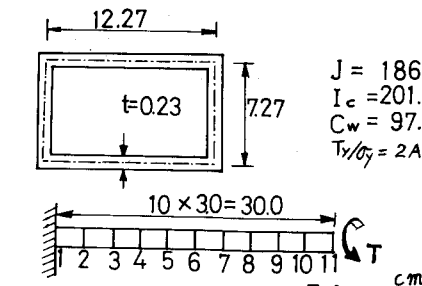
$$E C_w \frac{df}{dz^2} - G J \gamma^2 f = -\gamma^2 \dot{T} + \dot{T}' - \dot{T}_2' (1/\gamma^2) \quad \dots \dots \dots \quad (16)$$

(ただし、 $\gamma^2 = (I_C - J)/I_C$ )。また、偏心率  $\theta$  は、次式のように決定される。

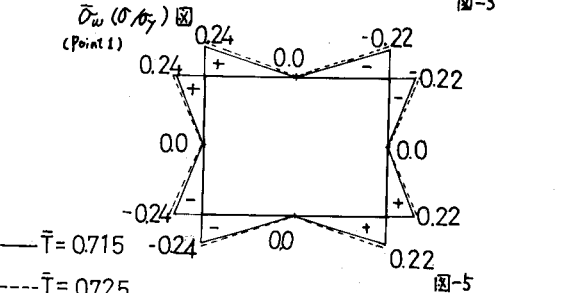
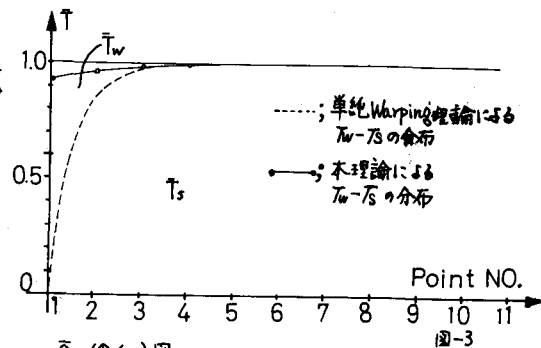
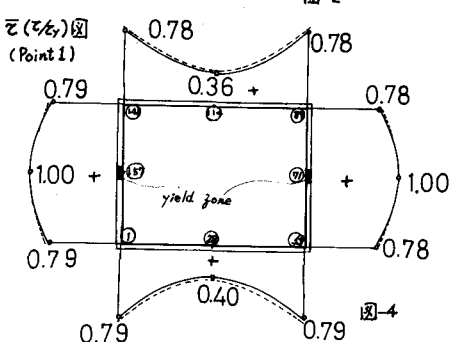
$$\dot{\theta} = \dot{T}/G I_C + \gamma^2 f - \dot{T}_2'/G I_C \quad \dots \dots \dots \quad (17)$$

以上の諸算式(11), (16), (17)は、 $\dot{T}' = 0$ ,  $\dot{T}_2' = 0$  とおけば Benscoter の結果<sup>4)</sup>と一致する。

3. 解析例 図-2に示すような、1 BOX 断面片持ばかりの自由端に、捩りモーメント  $T$  をかける場合について計算し結果の一部を示す。断面は周方向172分割、長さ方向10分割とした。詳細は発表時に報告する。



$$\begin{aligned} J &= 186.72 \text{ cm}^4 \\ I_C &= 201.63 \text{ cm}^4 \\ C_w &= 97.7 \text{ cm}^6 \\ T_y / \sigma_y &= 2A t / \sqrt{3} \end{aligned}$$



### 参考文献

- 1) komatu, Sakimoto : Elasto-Plastic Behavior of Thin-Walled Steel Tubs Under Combined Forces. PROC OF JSCE NO235, 1975
- 2) 太田, 藤岡 ; 薄肉多室閉断面杭の弾塑性曲げ捩り理論 (昭和48年度土木学会西部支部研究発表会論文集)
- 3) 太田, 吉村 ; 組み合せ負荷を受ける薄肉多室閉断面杭の弾塑性解析 (九大大学工学集報 第43巻, オー号)
- 4) Benscoter ; "A Theory of Torsion Bending for Multicell Beams." Journ. of Applied Mechanics, vol. 21 no. 1, p. 25 / 1954
- 5) 太田, 藤岡 ; 薄肉多室閉断面杭の弾塑性曲げ解析 (昭和49年才29回年次学術講演会講演集)